

密粒度アスファルトコンクリートの動的試験について

山口大学工業短期大学部 正員 上田 満
山口大学工業短期大学部 学員 ○ 鈴木繁人

1. 概 説 : アスファルト舗装の表層に主として用いられる密粒度アスファルトコンクリートについてその動的性状が温度および周波数、アスファルト量とともにどのように変化するかを検討したものである。過去にはサンドアスファルト系のものについては報告しているが、密粒度アスコンについては特異な困難さにより十分な実験ができなかったものである。本研究はとくに緩和能力が温度変化とともにいかに変化するかを主目的にしており、さらには最近よく問題とされるアスファルトのハグ離れと疲労性状の関係についても検討してみた。また、必ずみ速度試験より求めた粘弾性定数を動的な応答に適用可能かどうかについて考察したものである。

2. 使用材料および供試体の作成 : 使用したアスファルト配合の配合、アスファルトの性状は表-1に示されている。アスファルト量はマーシャル法により決定し6%である。また骨材の静的ハグ離れ試験、水浸マーシャル試験(60℃48時間水浸後の残留率定度)の結果が同様に表-1に明記されている。供試体は40×40×35cmの棒状で最初20×40×6cmの板状の形ワクの中に配合を入れ簡易耐圧試験機により66kg/cm²の圧力で10分間圧縮し、その後ホイールトラッキングマシンにて1時間トラバースを行ない、板状の供試体を作った。冷却後カツティングマシンにより棒状の供試体(上記の寸法)に六面力カットにより成形し、作成精度は各面ともに±1mmになるようコントロールされている。

3. 載荷試験法 : ひずみ制御方式とし、4点曲げ試験で、スパン長30cm、載荷点間隔10cmになるようにセットし、温度制御された恒温水槽中において供試体にたわみを与えその応答として荷重を得る方法で試験を行なった。この場合供試体中央部に於ける応力、ひずみは一般に次のように表わせる。

$$\sigma = \frac{6Pl}{bh^2} \dots\dots(1), \quad \epsilon = \frac{12hd}{3l^2 - 4e^2} \dots\dots(2)$$

但し、 b : 供試体の幅 (cm) h : 供試体の高さ (cm)

l : スパン長 (cm), e : 交点から載荷点までの距離 (cm), P : 荷重 (kg),

d : 供試体中央部のたわみ (cm),

なお、測定は載荷部のたわみ $\{\delta$ (cm) $\}$ 、ロードセルの荷重 $\{P$ (kg) $\}$ であるのでこれを用いて変形すれば、 $\sigma = Pl / bh^2 \dots\dots(3)$ 、 $\epsilon = 108h\delta / 20l^2 \dots\dots(4)$ となり45°角でスパン長が30cmの場合には(3)、(4)式は $\sigma = 0.469P$ 、 $\epsilon = 2.4 \times 10^8 \delta$ となる。載荷は必ずみ速度試験(必ずみ速度 1.13×10^{-4} /sec, 1.98×10^{-5} /sec), 動的試験, 疲労試験に分けて行ない、温度は2℃, 14℃に重点をおき、標準(応力緩和試験)については、周波数を1/Hz、必ずみを 4.5×10^{-6} とし温度も2℃から3℃おきに14℃まで5段階に変化させて、その緩和能力の変化を追ってみた。また2℃, 14℃にては周波数も10/Hz、1/Hz、0.1/Hzと変化させその複素弾性率、および破壊回数等について検討してみた。ハグ離れとの関係を考慮するために14℃の恒温水槽中48時間水浸後の疲労試験も行ない、標準の場合と比較することにした。

4. 試験結果および考察 : 標準(応力緩和試験)に関しては必ずみ変形として矩形変形を供試体を与えその結果として得られる応力を求めたわけで、その結果が図-1に示されている。この図は5℃載荷回数50回の場合であり図に示されているのが緩和能力と考えられる。この緩和能力が載荷回数とともにどのように変化するかを検討したものが、図-2でありまた、初期(標準(回数10回に統一)の緩和能力と温度との関係を示したものが表-2である。

Sieve opening(mm)	% passing	Binder
20.0	100.0	Straight asphalt; 60/80 Pen.(25°C,100g, 5sec); 72 T.r.&b(°C);47.5 P.I.; -1.3 Asphalt content ; 6%
13.0	97.8	
10.0	86.7	
5.0	58.0	
2.5	34.7	
0.6	19.5	
0.3	14.8	
0.15	11.2	
0.074	8.5	
Stripping test		
Immersion Marshall test		83.2%

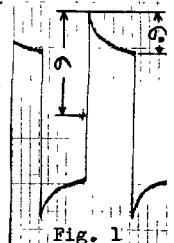


Fig. 1

図-2には温度が2℃, 5℃, 8℃の各々の場合が示してありこれをみると繰り応力の絶対値は繰返し回数の増加とともに減少し、破壊の前夜ではこの差が特に大となり、さらに破壊に致す回数も温度の上昇につれて小さくなる。表-2より温度が上昇すれば初期の繰り応力も大となり合致の流動性が增大することがよく示されている。14℃の繰り応力と2℃の場合を比較してみると前者のほうが2倍程度大きくなるようであり、この範囲内では直接的な変化を認ずる。また、図-1における σ_0/σ の比を比べてみると繰返し回数の増大にともない σ_0/σ の増加する傾向にあり、 σ_0/σ の減少が大と思われる。

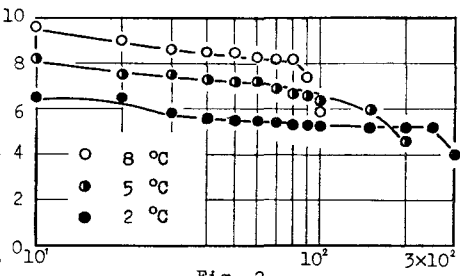


Fig. 2

湿度変化に対してはこの比は温度の上昇にともない大となり、2℃における比の値(%)29.3から14℃の65.8までの変化を示し、これもやはり2倍程度の差が出る。2℃, 14℃にてひずみを 4.5×10^{-3} に保ち周波数を10, 1, 0.1 Hzと変化させたときの複素弾性率またはステイフネスが表-3に示されている。これを見ると正弦波形による複素弾性率の絶対値($|E^*|$)は周波数の増加(載荷時間(1/ω, ω=2πf; fは周波数)の減少)につれて大となり、 $|E^*|$ と載荷時間との関係はただらかな曲線を描く、当然のことであるが2℃のほうがより大きな $|E^*|$ を示し載荷時間の増加にともないこの用きは大きくなるようである。

Table 2

Temperature(°C)	2	5	8	11	14
σ_0 (Kg/cm ²)	6.5	8.0	9.7	11.9	13.6
σ_0/σ (%)	29.3	36.3	45.8	59.0	65.8

矩形波形によるステイフネスは正弦波形による $|E^*|$ とは逆の傾向を示している。2℃のステイフネスがこの場合

Table 3

Kind of wave	Temperature (°C)	Complex modulus or Stiffness ($\times 10^9$)		
		0.1Hz	1Hz	10Hz
Sinusoidal wave	2	2.78	3.74	4.56
	14	1.32	2.29	3.52
Square wave	2	5.52	4.84	4.65
	14	5.23	4.31	3.68

も大きいわけだが、この用きは載荷時間の増加につれて小さくなる。また10Hzの周波数においては正弦波形の $|E^*|$ も矩形波形のステイフネスも同じぐらいの値となる。破壊にいたる回数については正弦波形では周波数が変化しても同じが、周波数が減少すると多少増加するようであるが矩形波形の場合は周波数が1/10, 1/100と小さくなるにつれて、破壊回数も1/10, 1/100と少なくなるようである。図-3には温度14℃, 周波数10Hz, 正弦波形のものについての標準疲労試験と水浸疲労試験の結果が示されている。表-1に示されているように骨材の静的ハク離試験では5%以上(規定では5%以下)、水浸マーシャル試験による残留率定度は83.2%(規定では75%以上)となっているので、静的ハク離試験は規定に合わないわけでこの影響が疲労試験については約1/2の破壊回数となつて現われるようである。温度が低くなって2℃になるとこの差は全くなくなる。さらに水浸の場合初期(載荷回数100回)における複素弾性率は少しばかり低くなるようひずみが大きくなるとこの傾向は顕著となる。なお直線の方程式は最小二乗法で求めるると $\log N = 10^{-2}(1/E)^{\beta}$ となるが水浸の場合 $\alpha = 10.37, \beta = 4.37$, 非水浸の場合 $\alpha = 10.01, \beta = 4.39$ で相関係数は-0.97, -0.95となる。

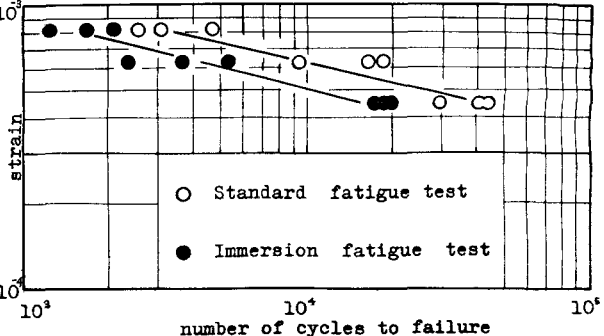


Fig. 3

5. まとめ : 以上の実験結果より、繰り応力は温度の上昇にともない増加し、2℃と14℃では2倍程度の差が出る。また14℃48時間水浸後の疲労破壊回数は標準の場合の半分ぐらいとなりハク離の影響があらわれる。今後の課題としては繰り応力が高温になつても極端に大にならないような配合、バインダー等を見出す必要があるように思われる。